

## A kalciumszulfát oldhatóságának számítása szikes talajok telítési kivonataiban

DARAB KATALIN, RÉDLY LÁSZLÓNÉ és CSILLAG JULIANNA

*Vízgazdálkodási Tudományos Központ és  
MTA Talajtani és Agrokémiai Kutató Intézete, Budapest*

A kalciumszulfát a talajokban különböző mennyiségben és különböző formában fordul elő. Kalciumszulfátot találunk kristályos micéliumok és konkréciók formájában mérsékelt égövi hidromorf talajokban, rendszerint azok mélyebb szintjeiben. Nagyobb mennyiségben, gyakran tömött vagy porózus felhalmozódási szint alakjában fordul elő a sivatagi és félsivatagi talajokban [10, 16].

A természetben a kalciumszulfát több formában fordul elő, melyek egy-mástól kristályvíz tartalmukban, kristályszerkezetükben és oldhatóságukban különböznek. A kalciumszulfátnak minden formája vízben mérsékelt oldhatósággal rendelkezik. A gipsz oldhatósága szobahőmérsékleten 2,1 g/liter, az anhidrit telített oldatának kalciumszulfát koncentrációja 2,8 g/liter.

Termodynamikai oldhatósági szorzatuk szintén különbözik egymástól [11].

A gipsz jelenléte a talajban többnyire biztosítja a talajoldat viszonylag stabil  $\text{Ca}^{2+}$ -ion koncentrációját [3]. Szikes talajok esetében abban az esetben, ha az oldat kalciumszulfáttal telített, a talajoldat Na-adszorpciós aránya függ a folyadékfázis összes ion koncentrációjától.

A talajképződési folyamatok modellezésénél a kalciumszulfát oldhatósági szorzata és az oldhatósági szorznak az összes ionkoncentrációval való változása figyelembe veendő [13].

A kalciumszulfát felhasználható, mint ismeretes, a szikes talajok javítására is [2, 8]. A javítóanyag hatékonyiságának előzetes számításánál segítséget nyújthat az, ha ismerjük a talajoldat kémiai összetételét, és számolni tudjuk az oldat összetételek változását a javítóanyag adagolásának eredményeként.

A kalciumszulfátot talajjavításkor leginkább gipsz formájában viszik be a talajba, technikai okok miatt ritkábban alkalmazzák kalciumszulfát-anhidritet is. A talajjavítás céljából bevitt kalciumszulfát tartalmú anyagok hatása kettőst.

A gipsz jelenléte a talajokban semlegesíti a lúgosan hidrolizáló nátrium-sókat, ilyenek a nátriumkarbonát, nátriumbikarbonát, esetlegesen nátriumszilikát. A semlegesítés során nátriumszulfát és vízben rosszul oldódó kalcium vegyület képződik. A kalciumszulfát oldódásakor megváltozik a talajoldat kémiai összetétele, a talajoldatban levő kationok aránya a kalcium ionok javára tolódik el és csökken az oldatban a nátrium, kalcium ionok koncentrációinak aránya.

1.  
A vizsgált szikes talajok

(1) Talajszelvénny és minta- vétel mélysége, cm	pH	(2) Elektromos vezetőképesség mmhos/cm EC 25 °C	Kationok		
			Ca <sup>2+</sup>	Mg <sup>2+</sup>	Na <sup>+</sup>
			mge/		
<b>Hortobágy II. sz.</b>					
2 – 8	7,4	10,7	14,51	10,12	110,87
8 – 17	7,9	10,9	1,96	8,08	119,56
17 – 32	8,0	11,8	1,80	6,20	139,12
32 – 42	8,3	11,3	1,57	5,57	123,91
42 – 63	8,1	7,8	1,80	1,18	89,13
63 – 79	8,5	4,0	1,57	0,86	43,48
79 – 90	8,5	3,0	0,53	1,16	35,25
<b>Mezőtúr II. sz.</b>					
0 – 2	8,3	1,8	5,96	5,72	16,09
2 – 12	8,7	1,1	1,51	2,19	16,34
12 – 22	8,7	1,5	3,47	2,48	20,91
22 – 42	8,4	1,1	1,15	1,03	15,98
42 – 52	8,8	0,9	0,77	0,69	12,78
52 – 66	8,8	0,8	0,94	0,39	10,87
66 – 81	8,7	0,6	1,15	0,94	7,40
81 – 98	9,0	0,6	0,99	0,99	9,88
98 – 120	8,9	0,3	1,29	1,29	6,08
120 – 140	8,8	0,4	1,10	0,86	6,30
<b>Cegléd 16. sz.</b>					
0 – 9	6,8	1,8	4,02	2,81	15,22
10 – 19	7,7	1,1	2,23	3,81	15,65
30 – 40	8,0	9,9	3,02	19,06	61,52
55 – 65	8,1	8,3	2,21	12,24	50,70
<b>Cegléd 22. sz.</b>					
0 – 11	7,7	0,9	1,86	2,75	6,78
12 – 20	8,2	1,0	1,15	0,69	7,83
21 – 35	8,2	1,3	0,92	0,79	11,30
40 – 50	8,2	0,7	0,69	0,79	13,04
<b>Mezőtúr 102. sz.</b>					
40 – 60	7,3	6,9	16,84	33,43	97,83
60 – 80	7,7	5,1	3,60	8,09	63,04
80 – 100	6,8	5,3	3,76	8,42	63,04
100 – 120	7,1	4,1	2,82	4,37	43,48
120 – 140	7,1	3,4	2,74	3,19	36,96

\* = SAR értékekkel számítva.

A koncentráció-arányok eltolódásának eredményeképpen meg bomlik a talaj szilárd és folyadékfázisa közötti egyensúly. A talaj kolloid diszperz részecskéinek felületén megkötött nátrium egy részét a talajoldat kalcium ionjai kicserélnek, csökkentve ezáltal a talaj „szikesedését”. A talajjavítás gyakorlatában a javításhoz szükséges kalciumszulfát mennyiséget többnyire a talaj kicserélhető nátrium ionjainak mennyiségéből számítják, figyelembe véve a javítandó talajréteg vastagságát is.

A szakirodalomban kevés olyan adatot ismerünk, mely a gipszezés várható javító hatásának mértékét a talaj szilárd és folyadékfázisa összetételének

*táblázat*  
telítési kivonatának elemzése

Anionok				$I \cdot 10^3$	SAR	ESP*
$\text{CO}_3^{2-}$	$\text{HCO}_3^-$	$\text{Cl}^-$	$\text{SO}_4^{2-}$			
1,38	7,12	28,91	110,32	209,8	31,6	31,2
1,38	5,06	21,46	109,44	194,0	53,4	43,7
1,18	3,93	19,50	133,36	223,8	69,6	50,3
1,38	5,75	21,14	117,20	201,1	65,6	48,8
1,38	3,73	17,81	70,64	130,3	73,0	51,6
1,87	5,40	12,89	22,32	57,5	39,5	36,3
2,36	4,47	10,46	30,05	59,2	38,4	35,6
—	—	—	—	—	—	—
1,57	7,97	6,50	7,84	36,4	6,7	7,9
0,98	6,34	5,12	8,81	27,4	12,0	14,1
1,38	4,67	6,76	13,29	36,8	12,1	14,3
1,18	2,51	5,92	11,76	27,3	15,3	17,6
1,38	4,32	4,49	4,56	18,2	15,0	17,2
1,08	4,82	5,81	3,04	16,2	13,3	15,6
1,57	3,54	4,97	1,06	12,7	7,2	8,6
1,38	4,52	4,44	2,02	14,8	9,9	11,9
1,38	3,04	4,65	1,32	12,2	5,4	6,3
1,38	3,54	5,55	4,24	15,3	6,4	7,5
—	5,92	5,50	14,98	37,2	8,2	9,8
—	6,26	4,90	12,84	33,4	9,0	10,7
—	6,74	13,60	82,63	147,0	18,5	20,7
—	6,97	13,70	65,50	116,8	18,9	21,0
—	4,18	2,00	4,92	16,8	4,5	5,1
—	7,30	1,74	3,21	14,0	8,2	9,8
—	6,23	2,00	5,79	17,9	12,2	14,4
—	9,43	2,00	6,83	21,1	15,2	17,4
—	0,87	14,70	131,60	238,6	19,5	21,6
—	1,71	12,36	63,44	113,7	26,1	27,1
—	0,95	13,80	63,12	114,2	25,6	26,7
—	1,10	12,16	35,44	71,0	22,9	24,6
—	0,67	11,36	30,60	61,0	21,5	23,3

ismeretében adja meg. Ilyen jellegű számítások két lépésben kell hogy történjenek. Ezek közül az első a talajba vitt kalciumszulfát oldódásának, illetve a talajoldat ionkoncentráció változásának számítása. Amennyiben a megváltozott talajoldat összetételét ismerjük, úgy számítjuk a talajoldat ionjainak aktivitását és az oldat kationjainak aktivitásából határozzuk meg a megváltozott egyensúlynak megfelelő kicsérélhető nátrium és kalcium ionok mennyiségeit.

A fenti folyamatok számításához ismernünk kell a talajba vitt javítóanyag, esetünkben gipsz, vagy gipsz anhidrit oldhatóságát, azokat a tényező-

ket, melyek oldódását befolyásolják. Számítanunk kell a gipszezet talaj oldatának kémiai összetételét ismerve az eredeti oldat összes ionerősséget, valamint az oldatban levő ionok aktivitási koefficiensét. Az ionaktivitások ismeretében alkalmazzuk valamely ismert és gyakorlati célból bevált ioncsere egyenletet.

Azokban az esetekben, amikor a talaj tartalmaz gipszet, valamint vízben jól oldódó nátriumsókot, a számítások célja, hogy jellemzzük, hogy a vízben jól oldódó sók különböző mértékű kilúgzása milyen mértékben befolyásolja a szilárd fázisban jelenlevő kalciumszulfát oldódását s a kilúgzás után a talaj-oldatban milyen lesz az ionkoncentrációk aránya.

A sók oldódása oldhatósági szorzatukkal jellemzhető. Kétféle oldhatósági szorzatot ismerünk. Ezek közül az egyik a sók telített oldatában levő ionok koncentrációinak szorzata. A másik értéket az ionok aktivitásából számoljuk és figyelembe vesszük az ionok ideálisztól eltérő és aktivitási koefficiensekkel jellemzett viselkedését. Ez utóbbi értéket nevezzük termodynamikai oldhatósági szorzatnak. Mind az oldhatósági szorzat, mind a termodynamikai oldhatósági szorzat számolható az ionpár képződési modell figyelmen kívül hangsával vagy annak alkalmazásával [4, 14, 15].

Az ionpár képződésnek a vízben oldódó sók oldhatóságára gyakorolt hatása kettős:

- Az oldat csökkent ionális koncentrációja növeli az ionok aktivitási koefficienseit, és ezzel csökkenti az illető só oldódását.

- Az ionpár képződés, az oldatban levő szabad töltéssel rendelkező ionok aktivitásának csökkenése növeli a vízben oldódó sók telítési koncentrációját.

Az oldhatósági szorzat és ennek figyelembe vétele az ionegyensúlyok számításánál és a talajok kémiai javításánál lehetővé teszi, hogy rosszul vagy közepezen oldódó sók esetében is, a talajoldat összetételét számítással megadjuk, és a várható talajkémiai változásokat számítsuk.

A talajtani szakirodalomban viszonylag kevés olyan adat található, mely a gipsz, a hemihidrát és anhidrit oldódását talajkivonatokban jellemzi, figyelembe véve annak ionális koncentrációját, az egyes ionok mennyiségeit és a különböző töltéssel bíró ionok egymás közötti elektrosztatikai kölcsönhatását [4].

### Anyag és módszerek

Az előzőeket figyelembe véve, oldhatósági vizsgálatokat végeztünk különböző jellegű szikes talajok telítési kivonataiban. A vizsgált szikes talajok réti szolonyecek, ezen belül a Mezőtúr II. szelvény a kérges réti szolonyec, a Cegléd 16. szelvény közepe réti szolonyec, a Cegléd 22. szelvény ugyancsak közepe réti szolonyec, a Hortobágy II. szelvény a szologyos kérges réti szolonyec változatokat képviseli [6, 9]. A vizsgált szelvények eltérnek egymástól a bennük felhalmozódott oldható sók mennyiségeiben és kémiai összetételében, valamint Na-telítettségen (1. és 2. táblázat). Viszonylag alacsony oldható sókészettel rendelkeznek a közepe réti szolonyecek, ezek „A” szintje kilúgzott, pH értéke közel semleges, az oldható sók közül a telítési kivonatban a nátriumsók az uralkodóak. Alacsony sótartalom esetén a hidrokarbonátok uralkodnak, a sófelhalmozódás növekedésével előtérbe kerülnek a szulfátok. Na-telítettségük eltérő, a kis sótartalmú, „kilúgzott” szelvény kicsérélhető Na<sup>+</sup>-tartalma is kicsi, s a felhalmozódási szintben sem haladja meg a Na-telí-

## 2. táblázat

## A vizsgált talajok egyes kémiai tulajdonságai és adszorpciós viszonyai

(1) Talajszelvénynél mintavétel mélysége cm	pH (H <sub>2</sub> O)	CaCO <sub>3</sub> %	(2) Kicsérélhető Na <sup>+</sup>	(3) Kationkicsérélő kapacitás mgeé/100 g	(4) Kicsérélhető Na %
					mgeé/100 g
<b>Hortobágy II.</b>					
2 – 8	5,91	0,25	4,87	16,30	29,9
8 – 17	8,13	1,15	10,37	23,37	44,4
17 – 32	9,14	0,76	15,68	27,80	50,4
32 – 42	9,49	0,56	21,08	27,90	75,6
42 – 63	9,69	17,02	15,34	27,00	56,8
79 – 90	9,58	16,50	7,35	14,81	49,6
<b>Mezőtúr II.</b>					
0 – 2	7,44	1,02	1,78	23,36	7,6
2 – 12	7,37	—	3,79	30,00	12,6
12 – 22	7,29	0,41	6,05	38,69	15,6
22 – 42	8,66	0,41	11,47	40,00	28,7
42 – 52	9,50	7,15	4,78	34,35	13,9
52 – 66	8,29	17,76	5,16	17,72	29,1
66 – 81	7,99	15,52	5,11	23,37	21,9
81 – 98	7,85	13,27	4,59	20,87	21,9
98 – 120	7,35	10,21	3,74	21,74	17,2
120 – 140	7,40	7,55	1,92	20,87	9,2
<b>Cegléd 16</b>					
0 – 9	6,65	0,66	0,25	13,74	1,8
10 – 19	7,75	0,45	3,39	23,34	14,5
30 – 40	8,45	2,93	9,18	28,40	32,3
55 – 65	8,75	22,32	5,94	25,72	23,1
<b>Cegléd 22</b>					
0 – 11	7,55	8,00	1,00	34,01	2,9
12 – 20	8,50	12,70	3,10	31,26	9,9
21 – 35	8,75	30,20	3,65	31,41	11,6
40 – 50	8,95	45,90	2,25	32,68	6,9

tettség a 12%-ot (Cegléd 22. szelvénnyel). A kevéssé kilúgzott szelvénnyben a kicsérélhető Na<sup>+</sup>-ionok mennyisége az oldható sók mennyiségének növekedésével párhuzamosan nő, s a felhalmozódási szintben a Na-telítettség eléri a 32%-ot (Cegléd 16. szelvénnyel).

A Mezőtúr II. sz. szelvénynél, mely kérges szologyos réti szolonyec, az oldható sók mennyisége viszonylag alacsony, és a telítési kivonatban a sókoncentráció 8–26 mgeé/l között változik. Az oldható sók közül a karbonát-hidrokarbonát és a szulfát-ionok mennyisége közel azonos koncentrációban fordul elő. Ez alól kivétel a felhalmozódási szint, ahol nagyobb mind a Na-, mind a Ca-, mind a Mg-szulfát mennyisége. A talaj Na-telítettsége a felhalmozódási szintben 13–30% között változik. A Hortobágy II.-vel jelzett szologyos kérges réti szolonyec talaj oldható sókészlete a legnagyobb, az „A” és „B” szintben eléri a telítési kivonat összes sókoncentrációja a 130–150 mgeé/l-t, az oldható sók közül a Na-szulfát dominál. A talaj Na-telítettsége nagy, a „B”-szintben 45–75% között változik.

A fent ismertetett talajokból készített kivonatokban vizsgáltuk az analitikai tisztaágú hemihidrát, valamint finom és durva szemes ásványi eredetű mechanikailag előkezelt anhidritek oldhatóságát.

## 3. táblázat

Szulfátos szolonyectalaj telítési kivonatainak a két (1. és 2.) számítási modellel kapott „szabad”, disszociált ionkoncentráció értékei mól/l · 10<sup>3</sup>

(1) Mintavétel mély- sége cm	Ca <sup>2+</sup>		Mg <sup>2+</sup>		Na <sup>+</sup>	
	1.	2.	1.	2.	1.	2.

## A) Eredeti kivonatok

40 – 60	4,43	4,53	8,68	8,51	93,81	92,70
60 – 80	1,03	1,05	2,32	2,25	61,28	60,64
80 – 100	1,08	1,10	2,43	2,36	61,31	60,67
100 – 120	0,90	0,91	1,42	1,36	42,59	42,33
120 – 140	0,90	0,90	1,06	1,01	36,26	36,06

B) Gipsszel telített  
kivonatok

40 – 60	6,04	6,17	7,01	6,87	86,88	85,87
60 – 80	6,83	6,99	2,31	2,25	57,51	56,87
80 – 100	6,97	7,13	2,55	2,48	48,35	47,82
100 – 120	7,52	7,64	1,44	1,25	38,48	38,13
120 – 140	7,45	7,56	1,65	1,59	32,51	32,25

(1) Mintavétel mély- sége, cm	HCO <sub>3</sub> <sup>-</sup>		SO <sub>4</sub> <sup>2-</sup>		Cl <sup>-</sup>	
	1.	2.	1.	2.	1.	2.

## A) Eredeti kivonatok

40 – 60	0,80	0,81	49,83	48,57	14,70	14,70
60 – 80	1,65	1,65	27,52	26,82	12,36	12,36
80 – 100	0,92	0,92	27,28	26,59	13,80	13,80
100 – 120	1,07	1,07	15,59	15,28	12,16	12,16
120 – 140	0,65	0,65	13,61	13,36	11,36	11,36

B) Gipsszel telített  
kivonatok

40 – 60	1,23	1,24	48,39	47,29	13,80	13,80
60 – 80	1,39	1,40	30,97	30,41	11,40	11,40
80 – 100	2,04	2,05	30,25	29,77	12,70	12,70
100 – 120	1,53	1,53	22,69	22,49	11,20	11,20
120 – 140	1,02	1,02	19,58	19,36	10,70	10,70

Kontrollképpen egy Mezőtúrról származó réti szolonyec talaj telítési kivonatában mértük az analitikai tisztaságú gipsz oldhatóságát is.

Vizsgálatainkat úgy végeztük, hogy a talajmintákhoz kapott telítési kivonat [5, 18] 100 ml-éhez anyagfajtánként 2–2 g-ot adtunk, 25 °C-ra termosztált vízfürdőn 4 órán át rázattuk, majd rázatás után azonnal szűrtük. A szűrletekből elvégeztük a kémiai komponensek analitikai meghatározását azonos komponensekre és azonos módszerekkel, mint az eredeti telítési kivonatok elemzésénél [5, 17].

Az így kapott analitikai adatokból figyelembe véve az ionok aktivitási koefficienseit, számítottuk az ionkoncentrációk és az ionaktivitások szorzatát Ca<sup>2+</sup>- és SO<sub>4</sub><sup>2-</sup>-ionokra.

## 4. táblázat

CaSO<sub>4</sub> oldhatósági szorzata gipsszel telített telítési talajkivonat adataiból számítva

(1) Ionerősség (mó/l) · 10 <sup>3</sup>			(2) Oldhatósági szorzat · 10 <sup>4</sup> (ionkoncentrációból számítva)			(3) Termodinamikai oldhatósági szorzat · 10 <sup>4</sup> (ionaktivitásból számítva)		
a) Összes	b) Redukált <sup>a</sup>		a) Összes	b) Redukált <sup>a</sup>		a) Összes	b) Redukált <sup>a</sup>	
	1.	2.		1.	2.		1.	2.
	modellel számítva			modellel számítva			modellel számítva	
230,5	173,9	170,7	7,33	2,92	2,92	5,81	2,83	2,85
147,6	115,8	114,0	4,78	2,11	2,12	5,19	2,71	2,74
143,9	111,5	109,9	4,80	2,11	2,12	5,31	2,77	2,81
114,5	89,3	88,1	3,69	1,71	1,72	4,76	2,60	2,62
103,5	79,9	78,9	3,10	1,46	1,46	4,28	2,39	2,39
						$\bar{x} = 5,07$	2,66	2,68
						$s = 0,58$	0,18	0,18
						$\bar{s} = 0,26$	0,08	0,08
						CV = 11,40%	6,62%	6,87%

\* = redukált ionkoncentráció:  $C_i(\text{összes}) - \sum_{j=1}^n C_{ij}$  (ionpár);

n = képződő ionpárok száma

C<sub>ij</sub> = ionpár koncentráció

Az ionerősség, ionkoncentrációk, az ionok számított aktivitási koefficienseinek birtokában „szukcesszív approximáció”-val számítottuk a kivonatok elektrolit „szerkezetét”.

Számításainkat először a korábban már alkalmazott ADAMS-féle számítási modell [1] módosított változatának [7] segítségével végeztük. Az esetek többségében a módszer konvergens volt, azonban amikor az oldatban a nagy mennyiségű kalcium ion mellett karbonát ion is jelen volt, divergencia lépett fel. Tapasztalataink szerint ez általában akkor fordult elő, ha a Ca<sup>2+</sup> + Mg<sup>2+</sup> ionkoncentráció nagyobb volt, mint az összes kationok 50%-a. Igen kis mennyiségű karbonát ion is divergenciát okoz az iteratív számításnál. Ezt részben magyarázza a CaCO<sub>3</sub> és MgCO<sub>3</sub> ionpárok képződésének kis disszociáció állandója, nagymérvű asszociációja, de a divergencia kiküszöbölésének lehetőségeit tovább kell vizsgálni. A továbbiakban adatainkat a szakirodalomban talált másik matematikai modell segítségével [12] dolgoztuk fel. E modellnél az aktivitási koefficienseket a DAVIES-egyenlettel kapjuk, az ionpárképződés disszociáció állandót pedig az ionerősség függvényeként számítjuk. A két módszernél eltér az egyenletrendszerek megoldásának módja is. Az újabb mód. szer (2. modell) minden esetben konvergensnek bizonyult, és az így számított iterált ionkoncentráció értékek a korábbi módszer (1. modell) konvergens eseténél kapott ionkoncentráció értékekkel jó egyezést mutattak (3. táblázat). Ugyancsak közel azonosak mindenél a gipsz ionpárképződést figyelembe vevő, redukált ionaktivitás értékekből számított termodinamikai oldhatósági szorzat értékei is (4. táblázat).

Különönböző  $\text{CaSO}_4$ -mintákkal telftett telítési talajkivonatok elemzése

Talajszárvány és mineralizáltság cm	Analitikai tisztaságú $\text{CaSO}_4 \cdot 0,5 \text{H}_2\text{O}$ -val talíró pH	(2)				(3)				(4)				
		Elmosznemés alkalmával umhildrittel telítve				Durvaszemcsés aktivitás umhildrittel telítve				Durvaszemcsés aktivitás umhildrittel telítve				
		Ca <sup>2+</sup>	CO <sub>3</sub> <sup>2-</sup>	HCO <sub>3</sub> <sup>-</sup>	SO <sub>4</sub> <sup>2-</sup>	pH	Ca <sup>2+</sup>	CO <sub>3</sub> <sup>2-</sup>	HCO <sub>3</sub> <sup>-</sup>	SO <sub>4</sub> <sup>2-</sup>	pH	Ca <sup>2+</sup>	CO <sub>3</sub> <sup>2-</sup>	HCO <sub>3</sub> <sup>-</sup>
<b>Hortobágy II.</b>														
2 - 8	8,1	42,28	1,57	6,64	129,8	8,3	39,75	2,06	6,54	141,3	8,0	46,92	2,16	6,39
8 - 17	8,1	25,88	2,16	4,33	130,5	8,1	29,01	2,16	5,79	139,3	8,1	40,44	2,16	3,84
17 - 32	7,9	24,95	0,90	3,66	137,1	8,1	29,68	1,26	3,64	154,7	8,0	34,37	1,18	2,75
32 - 42	7,9	28,23	1,18	3,54	135,0	7,9	29,42	1,34	3,52	140,2	7,7	34,62	1,22	2,67
42 - 63	7,8	29,80	1,26	3,54	101,5	7,8	30,19	1,18	3,34	100,2	7,7	34,72	0,87	2,18
63 - 79	7,9	30,80	0,94	3,29	65,6	7,8	34,42	0,98	1,99	70,9	7,9	40,99	0,94	2,24
79 - 90	7,8	26,62	1,67	2,07	49,8	7,8	35,65	0,59	2,21	63,4	7,8	39,20	1,57	66,8
<b>Mezőtér II.</b>														
0 - 2	8,5	37,65	1,67	6,88	61,1	8,1	61,14	1,28	7,12	51,3	8,1	53,49	0,98	6,10
2 - 12	8,6	31,10	2,06	3,64	42,2	8,3	39,27	1,08	3,10	50,2	8,2	48,94	1,57	2,90
12 - 22	8,5	29,06	1,28	2,65	61,8	8,3	35,90	0,79	1,72	50,2	8,5	49,02	1,18	1,87
22 - 42	8,3	30,90	1,18	1,62	61,3	8,4	39,70	1,57	1,13	51,5	8,4	48,64	1,08	1,23
42 - 52	8,2	31,91	2,06	2,51	41,8	8,3	45,00	2,26	1,92	52,0	8,1	44,80	1,97	2,21
52 - 66	8,0	28,38	1,08	3,34	39,7	8,1	31,59	1,18	2,70	36,1	8,0	37,47	0,88	3,35
66 - 81	8,0	31,12	1,28	3,05	34,2	8,1	33,56	1,28	2,46	37,0	8,1	37,84	1,18	2,31
81 - 98	8,0	31,68	1,47	2,56	38,8	8,1	33,90	1,67	2,11	36,8	8,2	37,36	1,47	1,82
98 - 120	8,0	31,08	1,18	1,77	37,1	8,1	29,89	0,98	1,48	34,3	8,2	40,40	1,18	1,23
120 - 140	8,1	30,80	1,08	2,26	36,6	8,1	28,00	0,98	2,07	35,3	8,2	37,12	0,88	4,40
<b>Cegléd 16.</b>														
0 - 9														
10 - 19	6,7	56,38	—	—	—	5,68	62,1	6,7	57,28	—	—	5,78	70,6	71,3
30 - 40	7,7	48,04	—	—	—	5,01	58,7	7,8	54,47	—	—	4,69	68,4	68,6
55 - 65	7,9	41,56	—	—	—	5,70	125,2	7,8	42,41	—	—	4,91	129,7	129,7
<b>Cegléd 22.</b>														
0 - 11	7,5	67,15	—	—	—	4,67	72,1	7,5	69,45	—	—	4,67	71,3	71,3
12 - 20	7,9	66,45	—	—	—	6,23	72,0	7,7	67,15	—	—	4,67	68,6	68,6
21 - 35	7,9	67,01	—	—	—	4,67	78,0	7,9	67,15	—	—	4,78	75,4	75,4
40 - 50	8,0	65,43	—	—	—	5,16	75,8	7,7	65,43	—	—	4,61	101,0	101,0

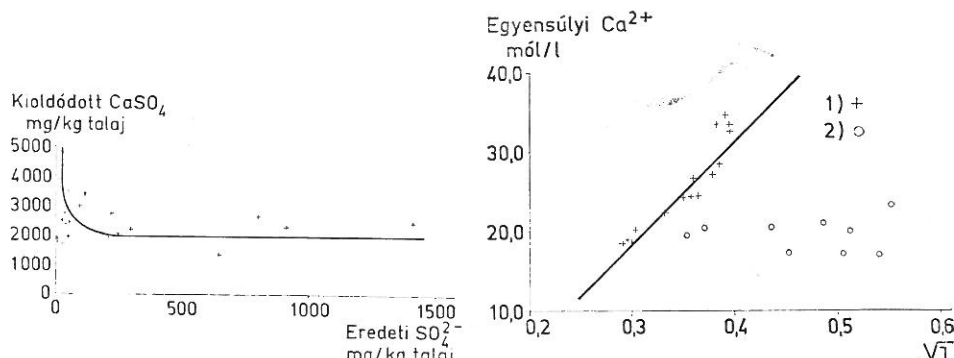
## 6. táblázat

A vizsgált talajok eredeti (0), valamint analitikai  $\text{CaSO}_4 \cdot 0,5 \text{H}_2\text{O}$ -val (1), finomszemcsés (2) és durvaszemcsés (3) anhidrittel telített kivonatai ionkoncentrációinak átlagértéke

(1) Kezelés	(2) Szelvényszám	$\text{Ca}^{2+}$	$\text{Mg}^{2+}$	$\text{Na}^+$	$\text{CO}_3^{2-}$	$\text{HCO}_3^-$	$\text{SO}_4^{2-}$	$\text{Cl}^-$
		mge/l						
<b>Hortobágy II.</b>								
0		3,39	4,74	94,47	1,56	5,07	84,76	18,88
1		29,79	5,71	97,64	1,38	3,87	107,06	19,97
2		32,59	5,30	96,74	1,37	3,58	115,72	19,80
3		38,75	5,48	97,78	1,44	3,09	119,84	19,93
<b>Mezőtúr II.</b>								
0		1,83	1,66	12,26	1,32	4,53	5,79	5,42
1		31,36	3,64	12,80	1,42	3,02	42,46	5,04
2		36,62	2,67	13,08	1,31	2,58	43,48	5,10
3		43,53	1,99	13,23	1,24	2,52	49,69	4,62
<b>Cegléd 16.</b>								
0		2,87	9,47	35,77	—	6,47	43,99	9,43
2		46,71	9,70	36,52	—	5,25	87,54	10,37
3		48,83	9,98	38,81	—	5,00	92,43	10,23
<b>Cegléd 22.</b>								
0		1,15	1,25	9,74	—	6,78	5,19	1,93
2		66,51	1,27	15,21	—	5,18	74,47	2,06
3		67,29	1,29	14,99	—	5,08	72,66	2,12

## Az adatok értékelése és következtetések

Vizsgálataink szerint a telítési kivonatokban a gipsz oldódása különböző mértékű volt, s végeredményben a gipsszel telített kivonat kalcium koncentrációja minden kivonatban közel azonos (3. táblázat). Az oldatban levő gipsznek mintegy 40%-a  $\text{CaSO}_4^0$  ionpár formájában volt jelen. Viszonylag csekély volt a  $\text{CaHCO}_3^+$  ionpár koncentrációja. Az oldhatósági szorzatokat az analitikai koncentráció adatokból számolva: a  $\text{Ca}^{2+}$ - és  $\text{SO}_4^{2-}$ -ionok összes koncentrációinak



1. ábra

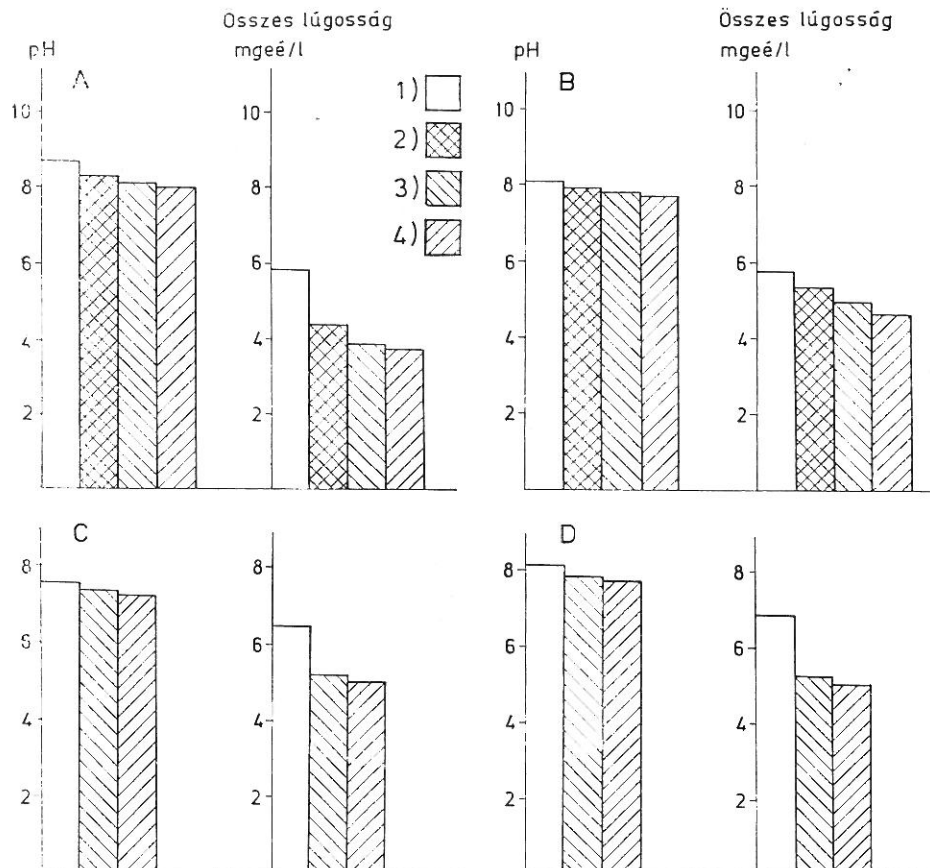
A kioldódott durvaszemcsés anhidrit mennyisége a talajkivonat eredeti  $\text{SO}_4^{2-}$ -tartalma függvényében.

Durvaszemcsés anhidrittel telített talajkivonatok egyensúlyi  $\text{Ca}^{2+}$  tartalma a kivonat ionerőssége függvényében. 1. Nem szulfátos minták. 2. Szulfátos minták.

7. tábl-

## Különböző kalciumszulfát anyagok termodinamikai oldhatósági szorzatainak

(1) Statisztikai mutatók	(2) $\text{CaSO}_4 \cdot 0,5 \text{ H}_2\text{O}$		(3) $\text{CaSO}_4$ finomszemcsés	
	a) Összes	b) Redukált*	a) Összes	b) Redukált*
	ionaktivitásból számítva			
n	17	17	25	25
$K_{sp}$	$5,74 \times 10^{-5}$	$3,03 \times 10^{-5}$	$8,11 \times 10^{-5}$	$4,23 \times 10^{-5}$
s	$1,33 \times 10^{-5}$	$5,36 \times 10^{-6}$	$2,78 \times 10^{-5}$	$1,38 \times 10^{-5}$
$\bar{s}$	$3,22 \times 10^{-6}$	$1,30 \times 10^{-6}$	$5,55 \times 10^{-6}$	$2,77 \times 10^{-6}$
CV%	23,11	17,67	34,24	32,69



3. ábra

A pH érték és az összes lúgosság változása különböző  $\text{CaSO}_4$  anyagokkal telített telítési kivonatokban. A) Kérges réti szolonyec. B) Szologyos kérges réti szolonyec. C) Közepes réti szolonyec. D) Közepes réti szolonyec. 1. Eredeti kivonatban. 2. Analitikai tisztaságú  $\text{CaSO}_4 \cdot 0,5 \text{ H}_2\text{O}$ -val telített kivonatban. 3. Finomszemcsés anhidrittel telített kivonatban. 4. Durvaszemcsés anhidrittel telített kivonatban.

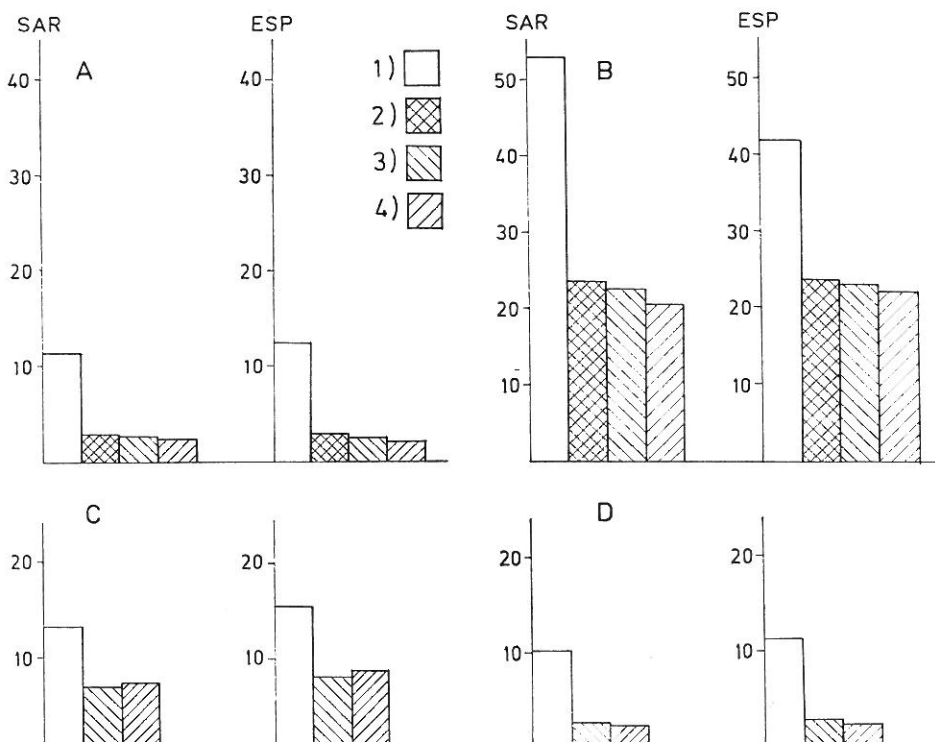
lázat

 $(\bar{K}_{sp})$  átlagértékei és szórásai szolonyectalajok telítési kivonataiban

(1) Statistikai mutatók	(4) $\text{CaSO}_4$ durvaszemcsés		$\text{CaSO}_4 \times 2 \text{H}_2\text{O}$	
	a) Összes	b) Redukált*	a) Összes	b) Redukált*
	ionaktivitásból számítva			
$\bar{K}_{sp}$	25	$4,78 \times 10^{-5}$	5	$2,68 \times 10^{-5}$
s	$2,35 \times 10^{-5}$	$1,13 \times 10^{-5}$	$5,78 \times 10^{-6}$	$1,84 \times 10^{-6}$
$\bar{s}$	$4,69 \times 10^{-6}$	$2,27 \times 10^{-6}$	$2,59 \times 10^{-6}$	$8,24 \times 10^{-7}$
CV%	25,47	23,73	11,40	6,87

\* = az ionaktivitás a szabad, töltéssel bíró ionokra vonatkozik.

szorzata az oldat ionális koncentrációjának függvénye és értéke annak értékével párhuzamosan csökken. A vizsgált öt kivonat átlagában az oldhatósági szorzet értéke  $4,74 \cdot 10^{-4}$ . A koncentráció függés megmarad abban az esetben is, ha az oldhatósági szorzet számításánál az ionpár koncentrációkkal redukált



4. ábra

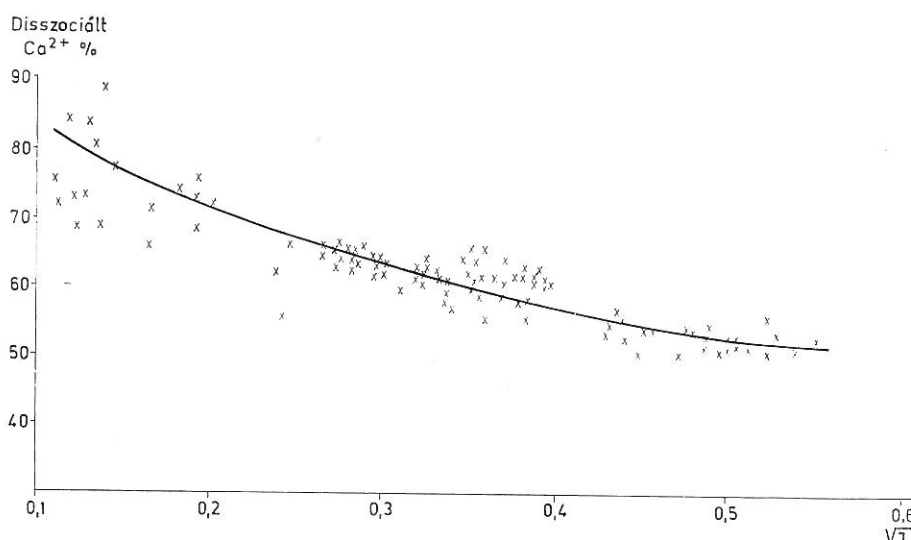
A nátrium adszorpciós arány (SAR) és a nátrium telítettség (ESP) változása  $\text{CaSO}_4$ -el telített telítési kivonatokban. Jelzéseket lásd a 3. ábrán

ionkoncentrációkból indulunk ki. Szükségszerűen az átlagérték számszerűen kisebb, nagyságrendje azonban az előzővel megegyezik (4. táblázat).

A termodynamikai oldhatósági szorzatok átlagértéke  $5,07 \cdot 10^{-5}$ , az átlagérték szórása viszonylag alacsony, a variációs koefficiens 11,4%. A számolt értékek, bár kis mértékben, de függnek az oldat összes ionális koncentrációjától. A redukált ionaktivitásokból számolt termodynamikai oldhatósági szorzat átlagértéke (2. modell szerint számítva)  $2,68 \cdot 10^{-5}$ . Az érték független az oldat ionális koncentrációjától, az átlagérték szórása alacsony, a variációs koefficiens 6,9%.

A továbbiakban a már előzőekben ismertetett koncentrációjú és kémiaj összetételű talajkivonatokban egyes, a szikes talajok javítására perspektivusan is felhasználható  $\text{CaSO}_4$  anhidrit nyersanyagok oldhatóságát, az oldódást befolyásoló tényezőket, az oldódásnak a talaj kémiai tulajdonságaira gyakorolt hatását vizsgáltuk. Két szelvény mintának esetében megvizsgáltuk kontrollként az analitikai tisztaságú  $\text{CaSO}_4 \cdot 0,5 \text{ H}_2\text{O}$  oldódását is. A végzett vizsgálatok eredményei azt mutatják, hogy a kezelt telítési talajkivonatokban mért egyensúlyi Ca-ion koncentráció 10–50-szerese az eredeti talajkivonatokban mért koncentrációknak (6. táblázat). A különböző  $\text{CaSO}_4$  tartalmú anyagokkal telített talajkivonatok egyensúlyi  $\text{Ca}^{2+}$ -ion koncentrációja, az összes talajminta átlagából számítva analitikai tisztaságú  $\text{CaSO}_4 \cdot 0,5 \text{ H}_2\text{O}$ -nál  $30,72 \pm \pm 4,13 \text{ mge/l}$ , finomszemcsés anhidrit mintánál  $41,89 \pm 13,14 \text{ mge/l}$ , durva szemcsés mintánál pedig  $46,84 \pm 11,06 \text{ mge/l}$  (5. táblázat).

A különböző kalciumszulfát tartalmú anyagokkal telített talajkivonatok az ionpárok koncentrációinak levonása után számított  $\text{Ca}^{2+}$  és  $\text{SO}_4^{2-}$ -ionaktivitások szorzatának (termodynamikai oldhatósági szorzat) értékei az ionerősséggel nem változnak, és szórásuk is kisebb (7. táblázat). Átlagos értékük:



5. ábra

A disszociált  $\text{Ca}^{2+}$  ionok relatív mennyisége az összes kalcium %-ában a kezeletlen és a kalciumszulfáttal telített telítési kivonatokban, az ionerősséggel függvényében

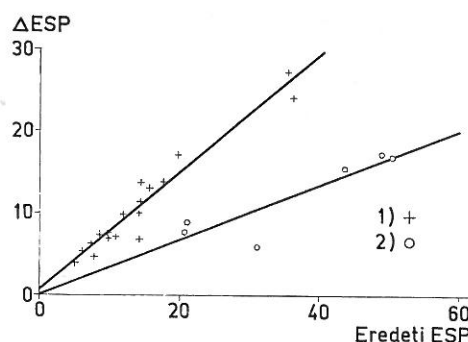
analitikai tisztaságú $\text{CaSO}_4 \cdot 0,5 \text{H}_2\text{O}$ -nál	$3,03 \cdot 10^{-5}$
finomszemcsés anhidrit mintánál	$4,23 \cdot 10^{-5}$
durva szemcsés anhidritnél	$4,78 \cdot 10^{-5}$

A kioldott  $\text{CaSO}_4$  mennyiséget számoltuk az eredeti és  $\text{CaSO}_4$ -ra telített talajkivonatok  $\text{Ca}^{2+}$ -ion koncentrációinak ismeretében.

A kapott kioldódott  $\text{CaSO}_4$  mennyisége értéket, a talajkivonat eredeti szulfát koncentrációjának függvényében ábrázolva, kezdetben meredeken csökkenő, később ellaposodó, reciprok jellegű görbét kaptunk, a tiszta oldat rendszerekben megfigyelt összefüggésekhez hasonlóan. A görbe lefutása minden három vizsgált anyagra közel azonos, ezért csupán a durvaszemcsés anhidrittel végzett vizsgálataink grafikus ábrázolását adjuk (1. ábra).

Az oldat ionális koncentrációjának növekedésével egyenes arányban nő az egyensúlyi Ca-tartalom. A túlnyomónan szulfátos összetételű mintáknál az ionerősség növekedésével az egyensúlyi  $\text{Ca}^{2+}$ -ion koncentráció gyakorlatilag nem változik az általunk vizsgált koncentráció tartományban. Ebből a szempontból a különböző vizsgált  $\text{CaSO}_4$  minták azonosan viselkednek (2. ábra). A talajkivonatok kalciumszulfáttal történő kezelése hatására a talajok pH-értéke és összes lúgossága csökkent, azonban ez a csökkenés néhány minta kivételével, a mérés hibahatárait nem haladja meg (3. ábra).

A  $\text{CaSO}_4$  oldódásának eredményeképpen változott a talajban a nátrium- és kalcium ionok koncentrációjának aránya, ezzel párhuzamosan a talajkivonatokból számított Na-adszorpciós arány (SAR érték [18]). A Na-adszorpciós arány változását lényegében két tényező befolyásolja. Ezek közül az egyik a kalciumszulfát oldódása, a másik az, hogy a kalcium ionok nagyobb mértékben képeznek ionpárt, mint a  $\text{Na}^+$ -ionok, és az ionpár képződés mértéke az oldat ionális koncentrációjának növekedésével nő. Ennek megfelelően nő a gipsz oldódása és csökken a Na-adszorpciós arány (4. és 5. ábra). A telítési kivonatokban számolt Na-adszorpciós arányokból, az ismert összefüggéssel [18] számítottuk a talajok Na-telítettségét ( $\Delta \text{ESP}$  értékét), és grafikusan ábrázoltuk a Na-telítettség változását ( $\Delta \text{ESP}$ ) az eredeti kicserélhető Na% (eredeti ESP) függvényében (6. ábra). A grafikus ábrázolás szerint, a görbe lefutása meredekebb akkor, ha a telítési talajkivonat nem szulfátos jellegű, míg szulfátos jellegű telítési kivonatokban a függvény laposabb. A függvény iránytangense nem szulfátos kivonatokban 0,72, szulfátos talajok telítési kivonatai-



6. ábra

A kicserélhető  $\text{Na}^+$  relatív értékének változása ( $\Delta \text{ESP}$ ) a talaj eredeti ESP értékének függvényében. 1. Nem szulfátos minták. 2. Szulfátos minták

ban 0,36. Ez azt jelenti, hogy a talajhoz adott, és a talaj aktuális nedvességtartalma melletti egyensúlyi talajoldatban telített oldatot képező azonos gipszmennyiségek hatékonyabbak, ha a talaj oldatában a szulfát ionok viszonylag kis koncentrációkban fordulnak elő.

### A vizsgálati adatokból levonható következtetések

A végzett vizsgálatok jól mutatják azt, hogy talajoldatok vagy talajok vizes kivonatának  $\text{Ca}^{2+}$ - és  $\text{SO}_4^{2-}$ -ionokkal való telítődése függ a talaj eredeti tulajdonságaitól. A kalciumszulfát oldódását meghatározzák: az oldat összes ionális koncentrációja, az oldatban levő ionok milyensége és ezek hajlama az ionpár képződésre. A redukált ionaktivitásokkal számolt termodinamikai oldhatósági szorzat azonos kalciumszulfát-tartalmú anyag esetében az oldat ionális koncentrációjától gyakorlatilag független, az anyagok minőségétől függően változik. Ismerve a telítési kivonat vagy talajoldat eredeti összetételét, a talaj javításhoz felhasználendő kalciumszulfát-tartalmú anyag milyenségét, a talaj-oldat „gipszezés” utáni várható összetételét, ezen belül a szabad töltéssel rendelkező ionok és a képződő ionpárok koncentrációt számítani tudjuk. Ilyen jellegű számítások alkalmasak arra, hogy kiindulási alapul szolgáljanak az ioncsere egyensúlyok eltolódásának előzetes számításához.

A számítási módszer előnye esetünkben az, hogy a talaj kivonatban mért kémiai adatokból és olyan összefüggések alapján végezhető el a számítás, melynek elvi alapjai ismertek. Alkalmazásának feltételei meghatározhatóak, s kiindulásként a mért adatok mellett olyan termodinamikai mutatók szerepelnek, melyek értéke gyakorlatilag független a rendszer tulajdonságaitól, melyre alkalmazni kívánjuk.

### Összefoglalás

Különböző kalciumszulfát-tartalmú anyagok ( $\text{gipsz}$ ,  $\text{CaSO}_4 \cdot 0,5 \text{ H}_2\text{O}$ , finomszemcsés, illetve durvaszemcsés anhidrit) oldhatóságát vizsgáltuk különböző szikes talajok telítési kivonataiban.

Az ismert összetételű telítési kivonatokat a különböző vizsgált anyagokkal (100 ml-ként 2 g-mal) egyensúlyba hoztuk, majd a szűrletből elvégeztük a kémiai komponensek meghatározását az eredeti telítési kivonatok elemzésénél alkalmazott módszerekkel.

A kivonatok ionerőssége, ionkoncentrációja és az ionok számított aktivitási koeficienseinek ismeretében, kétfélé matematikai modell alapján szukcesszív approximációval számítottuk a kivonatok elektrolit „szerkezetét”.

Az oldhatósági szorzatokat a) analitikai  $\text{Ca}^{2+}$ - és  $\text{SO}_4^{2-}$ -koncentráció adatokból, b) az ionpár koncentrációkkal redukált ionkoncentrációkból; a termodinamikai oldhatósági szorzatokat a) az összes b) a redukált ionaktivitás értékekből számítottuk.

Vizsgálataink alapján megállapítható:

1. Talajoldatok vagy talajok vizes kivonatának  $\text{Ca}^{2+}$ - és  $\text{SO}_4^{2-}$ -ionokkal való telítődése függ a talaj eredeti tulajdonságaitól. A kalciumszulfát oldódását az oldat ionális koncentrációja, ionösszetétele és az ionok ionpárképzésre való hajlama határozza meg.

2. A  $\text{Ca}^{2+}$ - és  $\text{SO}_4^{2-}$ -ionok összes (illetve az ionpár koncentrációkkal redukált) koncentrációi szorzatának értéke az oldat ionális koncentrációjával párhuzamosan csökken. A redukált ionaktivitásokkal számolt termodinamikai oldhatósági szorbat értéke azonos kalciumszulfát-tartalmú anyag esetében az oldat ionális koncentrációjától gyakorlatilag független, a kalciumszulfát-tartalmú anyag minőségétől függően változik.

3. A kalciumszulfát oldódásának eredményeképpen a talajkivonatok egyensúlyi  $\text{Ca}^{2+}$ -ion koncentrációja 10–50-szerese az eredeti talajkivonatokéinak. Csökkent a talajkivonatokból számított Na adszorpciós arány. Az egyensúlyi Ca-tartalom az oldat ionális koncentrációjának növekedésével egyenes arányban nő. A túlnyomórészt szulfátos összetételű mintáknál a fenti érték gyakorlatilag nem változik.

4. A telítési kivonat vagy talajoldat eredeti összetételének és a talajjavításhoz felhasználálandó kalciumszulfát-tartalmú anyag milyenségének ismeretében a „gipszezés” utáni talajoldat összetétel számítható.

Ilyen jellegű számítások kiindulási alapként alkalmasak az ioncsere-egyeniségek eltolódásának előzetes számításához.

### I r o d a l o m

- [1] ADAMS, F.: Ionic concentrations and activities in soil solutions. *Soil Sci. Soc. Amer. Proc.* **35**, 420–426. 1971.
- [2] ANTIPOV-KARATAJEV, I. N.: Melioracija szoloncov v Sz.Sz.Sz.R. AN SSSR Moszkva. 1953.
- [3] ANTIPOV-KARATAJEV, I. N. & MAMAEVA, L. JA.: O dostupnüh laboratornüh metodah opredelenija sztopeni szoloncevatoszti pocsv. Pocsovedenie. (8) 61–65. 1955.
- [4] BENNETT, A. C. & ADAMS, F.: Solubility and solubility product of gypsum in soil solutions and other aqueous solutions. *Soil Sci. Soc. Amer. Proc.* **36**, 288–298. 1972.
- [5] DARAB, K. & FERENZ, K.: Öntözött területek talajterképezése. Genetikus talajterképek. Ser. I. No. 10. OMMI, Budapest. 1969.
- [6] DARAB, K. & RÉDLY, L.-né: Kieserlhető  $\text{Ca}^{2+}$  és  $\text{Na}^+$ -ionok meghatározásának izotóphigításos módszere és összehasonlító értékelése. *Agrokémia és Talajtan.* **15**, 453–468. 1966.
- [7] DARAB, K., CSILLAG, J. & PINTÉR, I.: Elektrolitok szerkezetének vizsgálata modell-oldatokban és talajkivonatokban. *Agrokémia és Talajtan.* **26**, 219–250. 1977.
- [8] European solonetz soils and their reclamation (Ed. I. SZABOLCS) Akadémiai Kiadó. Budapest. 1971.
- [9] A genetikus üzemi talajterképezés módszerkönyve. (Szerk.: SZABOLCS, I.) Genetikus talajterképek. Ser. I. No. 9. OMMI, Budapest. 1966.
- [10] International Source Book on Irrigation and Drainage of Arid Lands in Relation to Salinity and Alkalinity. FAO/UNESCO Paris. 1967.
- [11] MARSHALL, W. L. & SLUSHER, R.: Solubility to 200 °C of Calcium Sulfate and its Hydrates in Sea Water and Saline Water Concentrates, and Temperature-Concentration Limits. *J. Chem. Eng. Data.* **13**, 83–93. 1968.
- [12] MINKIN, M. B., JENDOVICKIJ, A. P. & LEVCSENKO, V. M.: Asszociacijs ionov v pocsvennuh rasztrvorah. Pocsovedenie (2) 49–58. 1977.
- [13] Modelling of soil salinization and alkalinization processes. (Ed: KOVDA, A. V. & SZABOLCS, I.) Agrokémia és Talajtan. **28**, Suppl. 1979.
- [14] NAKAYAMA, F. S.: Calcium complexing and enhanced solubility of gypsum in concentrated sodium salt solutions. *Soil Sci. Soc. Amer. Proc.* **35**, 881–884. 1971.
- [15] NAKAYAMA, F. S. & RASNICK, B. A.: Calcium electrode method for measuring dissociation and solubility of  $\text{CaSO}_4 \cdot 2 \text{H}_2\text{O}$ . *Anal. Chem.* **39**, 1022–1023. 1967.
- [16] SZABOLCS, I. (Ed.): Salt affected soils in Europe. Mart. Nijhoff-The Hague and Res. Inst. Soil Sci. and Agric. Chem. of the Hungarian Acad. Sci. Budapest. 1974.

- [17] Talaj- és trágyavizsgálati módszerek. (Szerk.: BALLENEGGER, R. & DI GLÉRIA, J.) Mezőgaz. Kiadó. Budapest. 1962.
- [18] USDA Handbook No 60. Diagnosis and Improvement of Saline and Alkali Soils. (Ed: RICHARDS, L. A.) USDA. Washington. 1954.

*Érkezett: 1978. november 15.*

## Calcium-Sulphate Solubility in the Saturation Extracts of Salt-Affected Soils

K. DARAB, M. RÉDLY and J. CSILLAG

Research Institute for Water Resources, and Research Institute for Soil Science and Agricultural Chemistry of the Hungarian Academy of Sciences, Budapest

### Summary

The solubilities of chemical amendments containing calcium-sulphate (gypsum, calcium-sulphate hemihydrat and calcium-sulphate anhydrit) were investigated in the saturation extracts of salt-affected soils. The soils differed in the concentration and chemistry of salts soluble in water. They had different degree of sodium saturation in their accumulation horizons (Table 1. and 2.).

The extracts were saturated with the calcium-sulphate of gypsum, hemihydrat and anhydrit. The chemical compositions of equilibrium solutions were determined by the same methods which were applied for the analysis of original soil saturation extracts.

The ionic composition of electrolytes was computed on the basis of two different models, with the method of successive approximation, taking into account the ionic strength of solution, the concentrations and activity coefficients of ions in the soil extracts (Table 3.). The solubility product and the thermodynamic solubility product of calcium-sulphate were calculated from the concentrations and activities of sulphate and calcium ions, without and with the application of the ion-pair formation model. The ion concentrations and activities were indicated after subtracting the concentrations of the ion-pairs as "reduced" concentrations and activities (Table 4. and 7.).

The analytical data proved, that the dissolution of calcium-sulphate in soil solution and soil water extracts depends on the chemistry of the soil. In the saturated solutions the concentrations of calcium and sulphate ions are influenced by the stability of the ion-pairs formed in the solution, and the ionic composition of soil water extracts. The value of the solubility product calculated from the total and reduced concentrations of calcium and sulphate ions, decreases with that of the total ionic concentration of the solution.

The thermodynamic solubility product calculated from the reduced activities of the ions is practically independent of the ionic concentration of the solution, but it depends on the kind of material containing calcium-sulphate.

The equilibrium concentration of calcium in calcium-sulphate saturated soil water extracts may surpass the concentration measured in the original solution in a magnitude. It increases with the increase of the total ionic concentration in solution being poor in sulphate and a relative stable concentration of calcium ion can be assured in a solution dominated by sulphate salts. The sodium adsorption ratio (SAR value) is usually lower in the calcium-sulphate saturated solution than in the original one. The change in the SAR value depends on the chemistry of the original solution.

Determining the total salt concentration and the chemical composition of salts in the original solution, the gypsum-requirement and the composition of soil solution can be calculated after saturating it with calcium-sulphate. These types of calculations are suitable for predicting the changes of ion exchange equilibria due to the soil amelioration.

*Table 1.* Chemical composition of saturation extracts in the investigated profiles of salt-affected soils. (1) Number of profile and depth of sampling, cm. (2) EC, mmhos/cm.

*Table 2.* Data of sodium saturation in the investigated profiles. (1) Number of profile and depth of sampling, cm. (2) Exchangeable sodium, meq/100 g soil. (3) CEC. (4) ESP.

*Table 3.* Concentration of the "free" dissociated ions in saturation extracts calculated by applying two different models of ion-pair formation, mol/l · 10<sup>3</sup>. (1) Depth of sampling. Saturation extracts (A), before and (B), after saturation with CaSO<sub>4</sub>.

*Table 4.* The solubility product of calcium-sulphate in soil extracts saturated with gypsum. (1) Ionic strength,  $a$ ) Total,  $b$ ) Reduced\* (computed with the application of model 1. and 2.). (2) Solubility product  $\cdot 10^4$ . (3) Thermodynamic solubility product  $\cdot 10^5$ .

\* = reduced ion concentration:  $C_{ij(\text{total})} - \sum_{j=1}^n C_{ij(\text{ion-pair})}$ .  $n$  = Number of the formed ion-pairs;  $C_{ij}$ : concentration of ion-pair.

*Table 5.* Chemical composition of soil extracts saturated with the calcium-sulphate of different chemical amendments. (1) Number of profile and depth of sampling, cm. Saturated with (2) Analytical  $\text{CaSO}_4 \cdot 0,5 \text{H}_2\text{O}$ . (3) Fine-grained activated  $\text{CaSO}_4$ . (4) Coarse-grained activated  $\text{CaSO}_4$ .

*Table 6.* The averages of ion concentrations in the saturation extract of investigated soil profiles. (0) Original equilibrated with, (1) analytical  $\text{CaSO}_4 \cdot 0,5 \text{H}_2\text{O}$ , (2) fine-grained activated  $\text{CaSO}_4$ , (3) coarse-grained activated  $\text{CaSO}_4$ . 1. Treatment. 2. Number of profile.

*Table 7.* The means of  $\text{CaSO}_4$  thermodynamic solubility products and their standard deviations determined in the saturation extracts of solonetz soils. (1) Statistical elements. (2)  $\text{CaSO}_4 \cdot 0,5 \text{H}_2\text{O}$ :  $a$ ) Total,  $b$ ) Reduced. (3)  $\text{CaSO}_4$  fine-grained. (4)  $\text{CaSO}_4$  coarse-grained. (5) Gypsum. (2,3,4,5: calculated from ion activities. \* = the ion activity related to the concentration of free dissociated ions).

*Fig. 1.* The amount of  $\text{CaSO}_4$  dissolved from the coarse-grained  $\text{CaSO}_4$  as a function of the original  $\text{SO}_4^{2-}$  content in the saturation extract:  $X$  = original  $\text{SO}_4^{2-}$  content, mg/kg;  $y$  = dissolved  $\text{CaSO}_4$ , mg/kg.

*Fig. 2.* Equilibrium concentration of calcium ion as a function of ionic strength of soil saturation extracts treated with coarse-grained  $\text{CaSO}_4$ . 1. Samples poor in sulphates. 2. Samples rich in sulphates.  $X$  = the square root of the ionic strength in the saturation extract, mol/l.  $Y$  = Equilibrium concentration of  $\text{Ca}^{2+}$ , mol/l.

*Fig. 3.* The changes in pH values and alkalinities of soil saturation extracts after treatment with  $\text{CaSO}_4$  containing materials. A) Crusty meadow solonetz; B) Solidized crusty meadow solonetz; C) Meadow solonetz; D) Meadow solonet. In soil saturation extract: (1) Original, treated with (2) analytical  $\text{CaSO}_4 \cdot 0,5 \text{H}_2\text{O}$ . (3) Fine-grained  $\text{CaSO}_4$ . (4) Coarse-grained  $\text{CaSO}_4$ .

*Fig. 4.* The changes in SAR and ESP values in soil extracts saturated with  $\text{CaSO}_4$ .

*Fig. 5.* The amount of dissociated  $\text{Ca}^{2+}$  ions in the percentage of total calcium concentration as a function of the ionic strength in the original solutions, and solutions treated with  $\text{CaSO}_4$ .  $X$  = "I" mol/l;  $Y$  =  $\text{Ca}^{2+}$  dissociated.

*Fig. 6.* The change of ESP value as a function of the original value of ESP in samples (1) poor in sulphates (2) rich in sulphates.

## Löslichkeit von Ca-Sulphaten in den Sättigungsextrakten von Salzböden

K. DARAB, M. RÉDLY und J. CSILLAG

Forschungsinstitut für Wasserwirtschaft, und Forschungsinstitut für Bodenkunde und Agrikulturchemie der Ungarischen Akademie der Wissenschaften, Budapest

### Zusammenfassung

Es wurde die Löslichkeit von chemischen Verbesserungsmitteln, die Ca-Sulfate (Gips, Ca-Sulfat-Haemihydrat und Ca-Sulfat-Anhydrit) enthielten, in den Sättigungsauszügen von Salzböden untersucht. Die Böden unterschieden sich in der Konzentration und der chemischen Zusammensetzung ihres wasserlöslichen Salzgehaltes. Der Sättigungsgrad an Na war in den Akkumulationshorizonten verschieden. (Tab. 1. und 2.).

Die Auszüge waren mit den Ca-Sulfat-Formen Gips, Haemihydrat und Anhydrit gesättigt. Die chemische Zusammensetzung der Gleichgewichtslösungen wurde mittels der gleichen Methode, die bei der Analyse der ursprünglichen Bodensättigungsextrakte verwendet wurde, bestimmt.

Die Ionenzusammensetzung der Elektrolyte wurde aufgrund von zwei verschiedenen Modellen, mittels der Methode der successiven Annäherung berechnet, indem die Ionenstärke der Lösung, die Konzentrationen und die Aktivitätskoeffizienten in Betracht genommen wurden (Tab. 3.). Das Löslichkeitsprodukt und das thermodynamische Lös-

lichkeitsprodukt des Ca-Sulfates wurde aus der Konzentration und der Aktivität der Sulfat- und Kalziumionen berechnet, ohne und mit Anwendung des Modells der Ionenpaarbildung. Die Konzentrationen und Aktivitäten wurden nach Abzug der Ionenpaare als »reduzierte« Konzentrationen und Aktivitäten bezeichnet (Tab. 4. und 7.).

Die analytischen Angaben bewiesen, dass die Lösung von Ca-Sulfat in der Bodenlösung und in Bodenwasserauszügen von den chemischen Vorgängen im Boden abhängt. Die Konzentration von Ca- und SO<sub>4</sub><sup>2-</sup>-Ionen in den gesättigten Lösungen wird durch die Ionenkonzentrationen und die Ionenzusammensetzung der Wasserextrakte von Böden und durch die Stabilität der Ionenpaare, die sich in der Lösung gebildet hatten, beeinflusst. Der Wert des Löslichkeitsproduktes, berechnet aus den gesamten und reduzierten Konzentrationen der Ca- und SO<sub>4</sub><sup>2-</sup>-Ionen, sinkt mit der Abnahme der gesamten Ionenkonzentration der Lösung.

Das thermodynamische Löslichkeitsprodukt, berechnet aus den reduzierten Aktivitäten der Ionen, ist praktisch unabhängig von der Ionenkonzentration der Lösung, hängt aber von der Art des Ca-Sulfat enthaltenden Materials ab.

Die Gleichgewichtskonzentration der mit Ca-Sulfat gesättigten Bodenwasserextrakte kann die Konzentration in der ursprünglichen Lösung eine Größenordnung überschreiten. Sie steigt mit der Zunahme der gesamten Ionenkonzentration in der an Sulfaten armen Lösung an. Eine relativ stabile Ca-Ionenkonzentration kann in einer Lösung in der Sulfat-Salze dominieren gesichert werden.

Das Na-Adsorptionsverhältnis (NAV-Wert) ist meist niedriger in der durch Ca-Sulfate gesättigten Lösung als in der ursprünglichen. Der Wechsel im NAV-Wert hängt von den chemischen Eigenschaften der ursprünglichen Lösung ab.

Wenn die gesamte Salzkonzentration und die chemische Zusammensetzung der Salze in der ursprünglichen Lösung bestimmt sind, kann der Gips-Bedarf und die Zusammensetzung der Bodenlösung nach Sättigung mit Ca-Sulfat berechnet werden. Diese Berechnungsarten sind zur Hervorsage der mit der Bodenverbesserung verbundenen Veränderung in den Ionenaustauschgleichgewichten geeignet.

Tab. 1. Chemische Zusammensetzung von den Sättigungsextrakten in den untersuchten Profilen von Salzböden. (1) Nummer des Profils und Tiefe der Probenahme, cm. (2) Spezifische Leitfähigkeit, mmhos/cm.

Tab. 2. Angaben über die Na-Sättigung in den untersuchten Profilen. (1) Nummer des Profils und Tiefe der Probenahme, cm. (2) Austauschbares Na, mval/100 g Boden. (3) AK. (4) ANP.

Tab. 3. Konzentration der »frei« dissozierten Ionen in Sättigungsextrakten berechnet durch Anwendung zweier verschiedener Modelle der Ionenpaarbildung, mol/l · 10<sup>3</sup>. (1) Tiefe der Probenahme. Sättigungsextrakte vor (A) und nach (B) einer Sättigung mit CaSO<sub>4</sub>.

Tab. 4. Das Löslichkeitsprodukt von Ca-Sulfat in Bodenextrakten gesättigt mit Gips. (1) Ionenstärke, a) gesamte, b) reduzierte\* (berechnet unter Anwendung der Modelle 1. und 2.). (2) Löslichkeitsprodukt · 10<sup>4</sup>. (3) Thermodynamisches Löslichkeitsprodukt · 10<sup>5</sup>. \* = Reduzierte Ionenkonzentration: C<sub>i(gesamte)</sub> –  $\sum_{j=1}^n C_{ij(\text{Ionenpaare})} \cdot n$  = Anzahl der entstandenen Ionenpaare; C<sub>ij</sub>: Konzentration der Ionenpaare.

Tab. 5. Chemische Zusammensetzung von Bodenextrakten gesättigt mit Ca-Sulfaten von verschiedenen chemischen Meliorationsmitteln. (1) Nummer des Profils und Tiefe der Probenahme, cm. Gesättigt mit (2) analytisch reinem CaSO<sub>4</sub> · 0,5 H<sub>2</sub>O; (3) feinkörnigem, aktiviertem CaSO<sub>4</sub>; (4) grobkörnigem, aktiviertem CaSO<sub>4</sub>.

Tab. 6. Durchschnittliche Ionenkonzentrationen in den Sättigungsextrakten der untersuchten Bodenprofile. (0) Ursprünglich im Gleichgewicht mit (1) analytisch reinem CaSO<sub>4</sub> · 0,5 H<sub>2</sub>O; (2) feinkörnigem aktiviertem CaSO<sub>4</sub>; (3) grobkörnigem aktiviertem CaSO<sub>4</sub>. a) Behandlung. b) Nummer des Profils.

Tab. 7. Mittelwerte der thermodynamischen Löslichkeitsprodukte von CaSO<sub>4</sub> und ihre Streuung, bestimmt in den Sättigungsextrakten von Solonetzböden. (1) Statistische Elemente. (2) CaSO<sub>4</sub> · 0,5 H<sub>2</sub>O: a) gesamt, b) reduziert. (3) CaSO<sub>4</sub> feinkörnig. (4) CaSO<sub>4</sub> grobkörnig. (5) Gips. (2,3,4,5: berechnet aus Ionenaktivitäten.) \* = Ionenaktivität bezogen auf die Konzentration von frei dissozierten Ionen.

Abb. 1. Menge des CaSO<sub>4</sub> gelöst aus dem grobkörnigem CaSO<sub>4</sub> als Funktion des ursprünglichen SO<sub>4</sub><sup>2-</sup>-Gehaltes in dem Sättigungsextrakt. X = ursprünglicher SO<sub>4</sub><sup>2-</sup>-Gehalt, mg/kg; y = gelöstes CaSO<sub>4</sub>, mg/kg.

Abb. 2. Gleichgewichtskonzentration der Ca-Ionen als Funktion der Quadratwurzel der Ionenstärke der gesättigten Bodenextrakte, behandelt mit grobkörnigem CaSO<sub>4</sub>. 1.

Proben mit geringem Sulfatgehalt. 2. Proben mit hohem Sulfatgehalt. X = Quadratwurzel der Ionenstärke des Sättigungsextraktes, mol/l. Y = Gleichgewichtskonzentration von  $\text{Ca}^{2+}$ , mol/l.

*Abb. 3.* Änderung des pH-Wertes und der Alkalität der gesättigten Bodenextrakte nach Behandlung mit  $\text{CaSO}_4$  enthaltendem Material. A) Verkrusteter Wiesensolonetzboden; B) Solodisierter, verkrusteter Wiesensolonetzboden; C) Wiesensolonetzboden; D) Wiesensolonetzboden. Im gesättigten Bodenextrakt: (1) Ursprünglich behandelt mit (2) analytisch reinem  $\text{CaSO}_4 \cdot 0,5 \text{ H}_2\text{O}$ ; (3) feinkörnigem  $\text{CaSO}_4$ ; (4) grobkörnigem  $\text{CaSO}_4$ .

*Abb. 4.* Veränderungen der NAV- und ANP-Werte in Bodenextrakten, gesättigt mit  $\text{CaSO}_4$ .

*Abb. 5.* Menge der dissozierten  $\text{Ca}^{2+}$ -Ionen in % der gesamten Ca-Konzentration im Sättigungsextrakt als Funktion der Ionenstärke der ursprünglichen und der mit  $\text{CaSO}_4$  behandelten Lösung. X = »I«, Mol; Y =  $\text{Ca}^{2+}$  dissoziiert.

*Abb. 6.* Änderung des ANP-Wertes als Funktion des ursprünglichen ANP-Wertes von Proben (1) mit geringem, (2) mit hohem Sulfatgehalt.

## Вычисление растворимости сульфата кальция в насыщенных вытяжках засоленных почв

К. ДАРАБ, М. РЭДЛИ и Ю. ЧИЛЛАГ

Научно-Исследовательский Институт Водного Хозяйства и Научно-исследовательский институт почвоведения и агрохимии ВАН, Будапешт

### Резюме

Изучали растворимость материалов, содержащих различное количество сульфата кальция (гипс, мелкозернистый или крупнозернистый ангидрит  $\text{CaSO}_4 \cdot 0,5 \text{ H}_2\text{O}$ ) в насыщенных вытяжках различных засоленных почв (Таб. 1, 2).

Зная ионную силу, концентрацию вытяжки и коэффициенты ионной активности, на основании двух математических моделей сукцессивной аппроксимацией вычислили «структурку» электролитов вытяжек (Таб. 3).

Насыщенные вытяжки известного состава привели в равновесие, добавляя различные исследуемые материалы (2 г на каждые 100 мл), затем в фильтрате определили содержание химических компонентов методами, обычно используемыми для анализа насыщенных вытяжек (Таб. 5, 6).

Произведения растворимости рассчитали а) по данным аналитической концентрации  $\text{Ca}^{2+}$  и  $\text{SO}_4^{2-}$ , б) по ионной концентрации редуцированной концентрацией ионных пар; произведение термодинамической растворимости а) по величинам общей и б) редуцированной ионной активности (Таб. 4, 9).

На основании полученных результатом сделали следующие выводы:

1. Насыщаемость почвенных растворов или водных вытяжек почвы ионами  $\text{Ca}^{2+}$  и  $\text{SO}_4^{2-}$  зависит от исходных свойств почвы. Растворимость сульфата кальция определяется ионной концентрацией раствора, ионным составом и склонностью к образованию ионных пар.

2. Величина произведения общей (или редуцированной концентрациями ионных пар) концентрации ионов  $\text{Ca}^{2+}$  и  $\text{SO}_4^{2-}$  (произведение растворимости) снижается параллельно снижению ионной концентрации раствора. Величина произведения термодинамической растворимости, рассчитанная по редуцированной ионной активности, в случае материалов с одинаковой концентрацией сульфата кальция, практические не зависит от ионной концентрации раствора и изменяется от качества материала, содержащего сульфат кальция.

3. В результате растворимости сульфата кальция равновесная концентрация ионов  $\text{Ca}^{2+}$  в почвенной вытяжке в 10–50 раз превышает их концентрацию в исходной вытяжке. Снижается адсорбционное соотношение натрия, рассчитанное по результатам анализа насыщенной вытяжки. Содержание равновесного кальция повышается по мере увеличения ионной концентрации раствора, в образцах в основном сульфатного состава вышеуказанные величины практически остаются неизменной (Рис. 1, 2, 4).

4. Зная исходной состав насыщенной вытяжки или почвенного раствора и качество материала, содержащего сульфат кальция и используемого для мелиорации почв, можно рассчитать химический состав почвенного раствора после проведения гипсования. Подобного рода расчеты могут составлять основу для предварительного расчета смещения ионнообменного равновесия. (Таб. 6.)

Табл. 1. Анализ насыщенной вытяжки изученных засоленных почв. (1) Почвенный разрез и глубина взятия образцов в см. (2) Электропроводность ммхс/см ЕС 25 С°.

Табл. 2. Некоторые химические свойства изученных почв и условия адсорбции. (1) Почвенный разрез и глубина взятия образцов в см. (2) Ионы обменного натрия мг.экв/100 г почвы. (3) Ёмкость поглощения, мг.экв/100 г. (4) Процент обменного натрия.

Табл. 3. «Свободная» концентрация диссоциированных ионов в насыщенной вытяжке сульфатного солонца, рассчитанная по моделям 1. и 2. (1) Глубина взятия образцов. А) Исходные вытяжки. В) Вытяжки насыщенные гипсом.

Табл. 4. Произведение растворимости гипса, рассчитанное по результатам анализа вытяжки насыщенной гипсом. (1) Ионная сила. (2) Произведение растворимости рассчитанное по ионной концентрации. (3) Произведение термодинамической растворимости рассчитанное по ионной активности. а) Общая, б) Редуцированная, рассчитано по программам 1. и 2. X = редуцированная ионная концентрация:  $C_i$  (общая) —  $C_{ij}$  (ионных пар),  $n =$  число образуемых ионных пар,  $C_{ij} =$  концентрация ионных пар.

Табл. 5. Анализ насыщенных почвенных вытяжек обогащенных различными обоязами гипса. (1) Почвенный разрез и глубина взятия образцов в см. (2) При насыщении аналитически чистым  $\text{CaSO}_4 \cdot 0,5 \text{H}_2\text{O}$ . (3) При насыщении мелкозернистым активированным ангидритом. (4) При насыщении грубозернистым активированным ангидритом.

Табл. 6. Средние концентрации ионов в исходных (0) вытяжках, а также вытяжках насыщенных аналитически чистым  $\text{CaSO}_4 \cdot 0,5 \text{H}_2\text{O}$ . (1), мелкозернистым (2) и крупнозернистым (3) ангидритом. (1) Вариант. (2) Номер разреза.

Табл. 7. Средние величины и рассеивание величин произведения термодинамической растворимости ( $K_{sp}$ ) различных гипсовых материалов в насыщенных вытяжках солонцов. (1) Статистические показатели. (2)  $\text{CaSO}_4 \cdot 0,5 \text{H}_2\text{O}$ . (3) Мелкозернистый ангидрит. (4) Грубозернистый ангидрит. (5)  $\text{CaSO}_4 \cdot 2\text{H}_2\text{O}$ . а) Всего. б) Рассчитано по редуцированной ионной активности.  $x$  = ионная активность относится к свободным ионам.

Рис. 1. Количество растворенного грубозернистого ангидрита в зависимости от исходного содержания в вытяжке ионов  $\text{SO}_4^{2-}$ . По горизонтальной оси: исходное содержание  $\text{SO}_4^{2-}$  в мг/кг почвы. По вертикальной оси: растворенный  $\text{CaSO}_4$  мг/кг почвы.

Рис. 2. Равновесная концентрация  $\text{Ca}^{2+}$  в почвенных вытяжках насыщенных грубо-зернистым ангидритом в зависимости от ионной силы вытяжки. 1. Несульфатные образцы. 2. Сульфатные образцы. По вертикальной оси: равновесная концентрация  $\text{Ca}^{2+}$  моль/л.

Рис. 3. Изменение величин pH и общей щелочности в вытяжках насыщенных различными гипсовыми материалами. А) Корковый луговой солонец. В) Осололедильный корковый луговой солонец. С) Средний луговой солонец. Д) Средний луговой солонец. 1. В исходной вытяжке. 2. В вытяжке насыщенной аналитически чистым  $\text{CaSO}_4 \cdot 0,5 \text{H}_2\text{O}$ . (3) В вытяжке насыщенной мелкозернистым ангидритом. 4. В вытяжке насыщенной грубозернистым ангидритом.

Рис. 4. Адсорбционное соотношение натрия (SAR) и насыщенность натрием (ESF) в вытяжках насыщенных гипсом. Обозначения смотри на рисунке 3.

Рис. 5. Относительное содержание диссоциированных ионов  $\text{Ca}^{2+}$  в процентах от общей ионной концентрации кальция в необработанных и насыщенных гипсовым материалом вытяжках, в зависимости от ионной силы. По вертикальной оси: диссоциированный  $\text{Ca}^{2+}$ .

Рис. 6. Относительное изменение содержания ионов обменного натрии ( $\Delta \text{ESP}$ ) в зависимости от исходной величины ESP. По горизонтальной оси: исходная ESP. 1. Несульфатные образцы. 2. Сульфатные образцы.